

II-249 水路急拡部における高速流の挙動について

京都大学大学院○学生員 米山 望
 京都大学工学部 正員 岩佐義朗
 京都大学工学部 正員 細田 尚

1. はじめに； 本研究は、定常状態における急勾配水路急拡部の流れに
 対して特性曲線法を適用することにより、現象の再現を試みたものである。
 まず、水際線（水深がゼロになる境界線）の取扱について考察し、その後
 に従来の実験結果と数値解析結果を比較・検討しその妥当性を検証する。

2. 基礎式； 定常状態における平面二次元流れの基礎式を用いる。それは、図1に示す座標系を用いて次のように行列表示される。

$$A_1 \frac{\partial U}{\partial x} + A_2 \frac{\partial U}{\partial z} = B \quad (1)$$

上式において、 U, A_1, A_2, B は、次のように表せる。

$$U = \begin{bmatrix} h \\ u \\ w \end{bmatrix}, \quad A_1 = \begin{bmatrix} u & h & 0 \\ g & u & 0 \\ 0 & 0 & u \end{bmatrix}, \quad A_2 = \begin{bmatrix} w & 0 & h \\ 0 & w & 0 \\ g & 0 & w \end{bmatrix}, \quad B = \begin{bmatrix} 0 \\ g \sin \theta - \tau_{bx}/\rho h \\ -\tau_{bz}/\rho h \end{bmatrix}$$

ここに (u, w) ; 水深平均流速の x, z 成分、 h ; 水深、 (τ_{bx}, τ_{bz}) ; 水路床に作用する応力ベクトルの成分、 ρ ; 水の密度、 g ; 重力加速度、 θ ; 水路床勾配である。

(1)式の特性曲線 $\lambda_1, \lambda_2, \lambda_3$ は、 $A_1^{-1} A_2$ の固有値であり次のようになる。 $(\lambda_1$ は流線を表す。)

$$\lambda_1; \frac{dz}{dx} = \frac{w}{u}, \quad \lambda_2; \frac{dz}{dx} = \frac{uw + \sqrt{gh(u^2 + w^2 - gh)}}{u^2 - gh}, \quad \lambda_3; \frac{dz}{dx} = \frac{uw - \sqrt{gh(u^2 + w^2 - gh)}}{u^2 - gh} \quad (2)$$

また、 λ_i ($i=1, 2, 3$) の左固有ベクトルを μ_i とし、(1)式に左から $\mu_i A_1^{-1}$ を乗ずれば、特性曲線上の関係式(3)が導かれる。¹⁾

$$\mu_i \left(\frac{\partial U}{\partial x} + A_1^{-1} A_2 \frac{\partial U}{\partial z} \right) = \mu_i \left(\frac{\partial U}{\partial x} + \lambda_i \frac{\partial U}{\partial z} \right) = \mu_i A_1^{-1} B \quad (i=1, 2, 3) \quad (3)$$

3. 解の構成と水際線の取扱い； 路床勾配、底面せん断応力を無視した場合を例にとって、特性曲線法における水際線の取り扱い、および解の構成について説明する。まず、 λ_1 (流線) 上の関係式は、上流端で流速、水深が一定のとき、流れの全領域で成立する(4)式となる。

$$(u^2 + w^2)/2g + h = H_0 \quad (H_0; \text{上流端の比エネルギー}) \quad (4)$$

(4)式のもとに、解は特性曲線 λ_1, λ_2 の交点において定められる。 λ_2 および λ_3 で構成される特性曲線網を示したのが図3であって、この図より流れは I, II, III の三通りに分けられる。すなわち、I は上流端の水深および流速が変化しない領域、II は点Bから放射状に出る特性曲線 (λ_3) 上で水深および流速が一定となる領域、さらに、III は点Bから出た特性曲線が x 軸 (水路中心軸) で反射したものと、点Bから出た特性曲線の交点として水理量が定まる領域である。次に、水際線上の点Dの水理量が λ_2 上の関係式と(4)式から定められることを説明しよう。

まず、図3の特性曲線網を (u, w) 平面上に変換する。すなわち、 λ_2 上の関係式を $V = \sqrt{u^2 + w^2}$, $u = V \cdot \sin \theta$, $w = V \cdot \cos \theta$ と(4)式を用いて変数変換すれば、

$$\frac{1}{V} \frac{dV}{d\theta} = - \frac{\sqrt{H_0 - V^2/2g}}{\sqrt{3V^2/2g - H_0}} \quad (5)$$

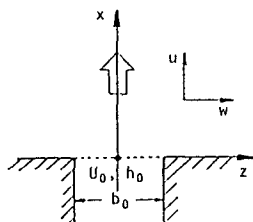


図1 座標系

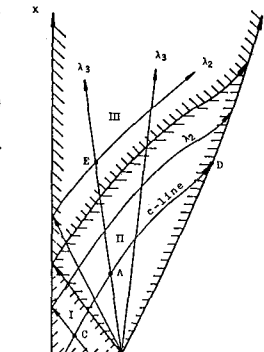


図2 特性曲線網

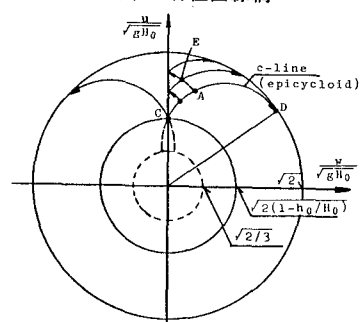


図3 (u, w) 面上での特性曲線の挙動

となる。(4)式の解(エピサイクロイド曲線)を用いて (u, w) 平面に変換すれば図4のようになる。図3の点Cから出発する λ_2 の行方を (u, w) 平面でみると、水際線上の点D((4)式に $h = 0$ を代入した円 $u_2 + w_2 = 2 g H_0$ 上に存在する。)で止まることがわかる。すなわち点Dの水理量は λ_2 上の関係式と流線上の関係式である(4)式によって定められることがわかる。

4. 数値解析方法: 数値解析は、3. で述べたことを念頭において、(3)式を適当に離散化することにより行われる。 $x = k$ 、 $\Delta x = x_{k+1} - x_k$ 上の格子点の水理量が既知のとき、 $x = x_{k+1}$ 上の未知の格子点Pと点Pを通る3本の特性曲線の $x = x_k$ 上の点を Q_i ($i=1, 2, 3$)とすると、 U_p は次式で求められる。ただし、 Q_i の位置と水理量の値 U_{Qi} は、線形補間によって定めた(図4)。

$$\lambda_i; (\mu_i)_{Qi} \cdot \left(\frac{U_p - U_{Qi}}{\Delta x} \right) = (\mu_i A_1^{-1} B)_{Qi} \quad (i=1, 2, 3) \quad (6)$$

計算領域の上流端 $x/(b_0/2) = 0.25$ では、底面せん断応力、路床勾配を無視したときの解析解より得られる流速、水深を与えた。水路中心線上では $w = 0$ となり、 u, h が λ_1, λ_3 上の関係式から求められる。また、水際線上では3. で述べたことから、流線(λ_1)上の関係式と水際線で止まる λ_2 上の関係式で流速 u, w が求まる。このとき、底面せん断応力を無視する場合には、水際線上で $h = 0$ とおき、底面せん断応力の評価にManning則を適用したときには、微小水深 h_0 を与えた。

5. 計算結果の考察: 計算条件はRouse²⁾の実験に合せており、表1に示したようである。路床勾配、底面せん断応力を無視したRun1における水深の三次元分布を図5に示した。

水深の横断分布についてRouseの実験と比較したのが図6である。両者はほぼ一致している。

表1 計算条件

	$Frou$	$(b_0/2)/h_0$	$gn^2/h_0^{1/3}$	h_e/h_0
Run 1	2	—	—	—
Run 2-1	2	1	1.68×10^{-3}	0.1
2	2	2	2.11×10^{-3}	0.1
3	2	4	2.66×10^{-3}	0.1

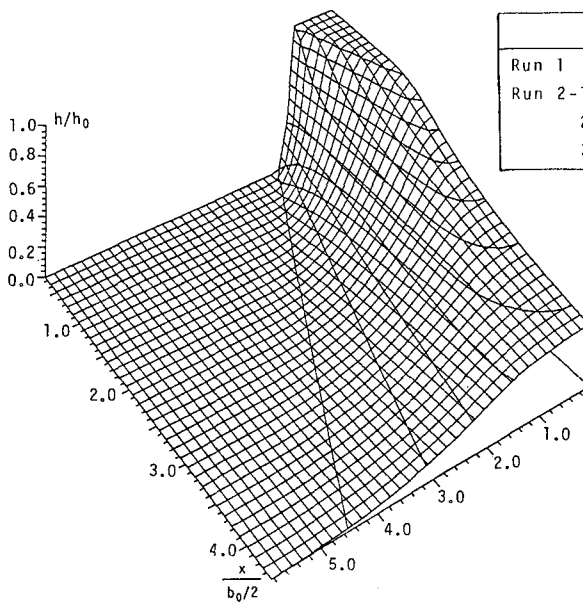
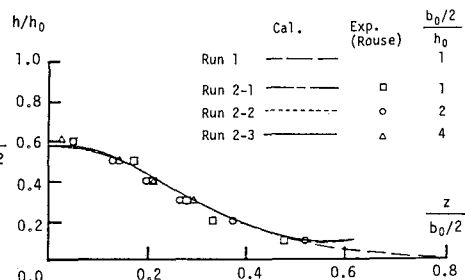


図5 水深の三次元分布(Run1)

図6 Rouseの実験との比較
($x/(b_0/2) = 3$)

参考文献 1)岩佐・細田; 京大防災年報 第32号 B2, 1989. 2)Rouse, H. et al.; Tran. ASCE, 116, 1951.